

T-191

18/vii-68

ОБЪЕДИНЕННЫЙ
ИНСТИТУТ
ЯДЕРНЫХ
ИССЛЕДОВАНИЙ

Дубна

P2 - 3830



А.В.Тарасов

ТОРМОЗНОЕ ИЗЛУЧЕНИЕ
ПРИ СОУДАРЕНИЯХ НУКЛОНОВ
В ПРИБЛИЖЕНИИ ЛОУ

ЛАБОРАТОРИЯ ЯДЕРНЫХ ПРОБЛЕМ

1968

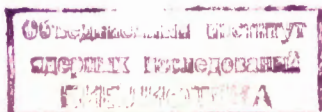
P2 - 3830

7343/2 чф

А.В.Тарасов

ТОРМОЗНОЕ ИЗЛУЧЕНИЕ
ПРИ СОУДАРЕНИЯХ НУКЛОНОВ
В ПРИБЛИЖЕНИИ ЛОУ

Направлено в ЯФ



В предыдущей работе автора /1/ получена амплитуда тормозного излучения в нуклон-нуклонных столкновениях (NNB) в приближении Лоу.

Здесь, используя результаты работы /1/, мы выразим наблюдаемые в NNB через наблюдаемые NN-рассеяния.

Употребляемые обозначения всюду совпадают с обозначениями работы /1/.

1. Сечение процесса NNB в приближении Лоу

Дифференциальное сечение NNB связано с матричным элементом (8) работы /1/ соотношением

$$\frac{d^4 \sigma^B}{d\Omega dO d\omega} = \frac{a}{4\pi^2} \beta \omega \sum_{\lambda} \text{Sp } M^{\lambda} \rho M^{\lambda+}, \quad (1)$$

где $d\Omega = 2\pi d \cos \theta$, $dO = d\phi d \cos \nu$,

ρ - поляризационная матрица плотности сталкивающихся нуклонов.

$$\beta = \beta(E, \omega, \theta, \nu, \phi) = \frac{|\vec{p}_2 - \vec{q}_2|^3}{v \{ |\vec{p}_2 - \vec{q}_2|^2 (2E - \omega) + [(\vec{p}_2 \vec{k}) - (\vec{q}_2 \vec{k})] [E(\vec{p}_2) - E(\vec{q}_2)] \}}$$

$$\beta_{\omega \rightarrow 0} = 1 - \frac{\omega m^2}{2E p^2} + O(\omega^2).$$

Индексом "В" условимся обозначать наблюдаемые величины, относящиеся к тормозному излучению. Наблюдаемые величины без индекса относятся к упругому процессу.

В дальнейшем первые будут выражены через последние.

Рассмотрим простой случай, когда поляризованы, например, только нуклоны мишени (нуклоны 2).

В этом случае

$$\rho = \frac{1}{4} (I + \vec{\sigma}^2 \vec{P}), \quad (3)$$

где \vec{P} - поляризация частиц мишени.

Вводя обозначения

$$\begin{aligned} \sigma_0^B &= \frac{\omega}{4} \sum_{\lambda} \text{Sp } M^{\lambda} M^{\lambda+}, \\ \sigma_0^B \alpha_1^{2B} &= \frac{\omega}{4} \sum_{\lambda} \text{Sp } M^{\lambda} \sigma_1^2 M^{\lambda+}, \end{aligned} \quad (4)$$

получим

$$\begin{aligned} \omega \sum_{\lambda} \text{Sp } M^{\lambda} \rho M^{\lambda+} &= \sigma_0^B (1 + \sum_1 P_1 \alpha_1^{2B}) = \\ &= \sigma_n^B (1 + P_n \alpha_n^{2B} + P_m \alpha_m^{2B} + P_p \alpha_p^{2B}). \end{aligned} \quad (5)$$

У вектора асимметрии α_i^B , в отличие от случая упругого рассеяния, все три компоненты не равны нулю.

Ортогональная к плоскости рассеяния (плоскость, образованная векторами P_1 и $P_2 - Q_2$) компонента α_n^B , как и в упругом рассеянии, определяет право-левую асимметрию вылета нуклонов (при условии, что излучение фотона мало сказывается на направлении движения вылетающих нуклонов)

$$\frac{\sigma_L - \sigma_R}{\sigma_L + \sigma_R} = P_n G_n^B . \quad (6)$$

Параллельные указанной плоскости компоненты, которые в силу сохранения четности пропорциональны $\cos \nu$, определяют вверх-вниз (по отношению к данной плоскости) асимметрию вылета фотонов

$$\frac{\sigma(\nu) - \sigma(\pi - \nu)}{\sigma(\nu) + \sigma(\pi - \nu)} = P_m G_m^B(\nu) + P_\ell G_\ell^B(\nu) . \quad (7)$$

В приближении Лоу получаются следующие выражения для σ_0^B и G_i^B :

$$\sigma_0^B = \left(\frac{T}{\omega} + A \frac{1}{E} \frac{\partial}{\partial E} E^2 + A' \frac{\partial}{\partial \theta} \right) \sigma_0 ; \quad (8)$$

$$G_m^{2B} = \left(I + \frac{\omega A}{T} E \frac{\partial}{\partial E} + \frac{\omega A'}{T} \frac{\partial}{\partial \theta} \right) G_n ; \quad (9)$$

$$G_m^{2B} = \frac{\omega}{T} (M - N - P + Q) G_n ; \quad (10)$$

$$G_\ell^{2B} = \frac{\omega}{T} (K + R - L - S) G_n . \quad (11)$$

Здесь σ_0 и G_n - дифференциальное сечение и параметр асимметрии упругого процесса, сопоставленного данному неупругому соотношениями (3) работы [1]. $T, A, A', K, L, M, N, P, Q, R, S$ - некоторые вещественные функции кинематических переменных, конечные при $\omega \rightarrow 0$. Их связь с величинами $t^\lambda, A_i, A'_i, K_i, \dots, S_i$ показана в Приложении.

Из (8-11) видно, что в приближении Лоу сечение **NNB** выражается только через сечение (и его производные) некоторого упругого процесса, а компоненты вектора асимметрии **NNB** выражаются только через компоненту (единственную в силу сохранения четности) вектора асимметрии упругого процесса.

2. Поляризационные эффекты в **NNB** в приближении Лоу

Так как в приближении Лоу амплитуда **NNB** выражается линейно, а наблюдаемые **NNB** квадратично через амплитуды **NN**-рассеяния, в принципе не исключена возможность, что в простые поляризационные тензоры **NNB** входят такие же билинейные комбинации амплитуд **NN**-рассеяния, какие входят только в более сложные поляризационные тензоры упругого рассеяния.

Это позволило бы при помощи простых поляризационных измерений в **NNB** при малых ω получать такую же информацию об амплитудах **NN**-рассеяния, какая получается в более сложных поляризационных измерениях в упругом рассеянии, если последние по каким-то причинам затруднены.

В работе /2/, однако, показано, что сечение любого процесса, сопровождающегося излучением мягкого фотона, в приближении Лоу выражается только через сечение процесса без спуска фотона и производные от него по инвариантным переменным i , таким образом, не содержит новой информации об амплитудах "упругого" процесса.

Соотношение (8) находится в соответствии с этим общим результатом. А соотношения (9-11) указывают, что по крайней мере простые поляризационные измерения в **NNB** также не дают новой информации по сравнению с такими же измерениями в упругом рассеянии.

Интересно поэтому рассмотреть более сложные поляризационные эффекты в **NNB**. Результаты расчета в приближении Лоу поляризационных тензоров в **NNB** до второго ранга включительно приведены в Приложении.

Анализ этих результатов показывает, что компоненты любого поляриза-ционного тензора нулевого, первого или второго ранга в NNB в приближении Лоу выражаются линейно только через компоненты аналогичного поляризационного тензора упругого процесса.

Этот результат заранее неочевиден, так как билинейные комбинации амплитуд NN -рассеяния, входящие в выражения для компонент данного поляризационного тензора (до 2-го ранга) упругого рассеяния, не исчерпывают всех возможных билинейных комбинаций этих величин.

Перейдем теперь к рассмотрению поляризационных тензоров третьего и четвертого рангов.

Легко видеть, что в силу вещественности величин A_i, \dots, S_i (см. /1/) компоненты тензоров третьего ранга в NNB выражаются только через мнимые части билинейных комбинаций амплитуд NN -рассеяния ($Im ab^*$, $Im ac^*$ и т.д.), т.е. через $C_k^2 = 10$ величин.

Аналогично компоненты тензора четвертого ранга выражаются только через вещественные части билинейных комбинаций амплитуд NN -рассеяния ($|a|^2$, $Re ab^*$ и т.д.), т.е. через $15 = C_k^2 + 5$ величин.

Но любой поляризационный тензор третьего ранга в NN -рассеянии имеет ровно 10 линейно независимых компонент, выражающихся только через мнимые части билинейных комбинаций амплитуд NN -рассеяния, а тензор четвертого ранга имеет ровно 15 линейно независимых компонент, выражающихся только через вещественные части билинейных комбинаций амплитуд NN -рассеяния (см., например, /3/). Отсюда следует, что утверждение о связи поляризационных тензоров двух процессов, NNB и NN -рассеяния, в случае тензоров 3-го и 4-го рангов выполняется автоматически.

Точно так же можно показать, что для процессов $0 + \frac{1}{2} \rightarrow 0 + \frac{1}{2} + \gamma$ (например, $\pi(k) + N \rightarrow \pi(k) + N + \gamma$) компоненты тензора деполаризации и вектора асимметрии этих процессов автоматически выражаются только через компоненты аналогичных величин соответствующих упругих процессов $\pi(k) + N \rightarrow \pi(k) + N$. Сечения этих процессов связаны в силу общего утверждения работы /2/.

Таким образом, на примере двух процессов $NN \rightarrow NN\gamma$ и $0 + \frac{1}{2} \rightarrow 0 + \frac{1}{2} + \gamma$ видно, что существует взаимно однозначное соответствие меж-

ду результатами поляризационных измерений в тормозном излучении при малых ω и результатами аналогичных поляризационных измерений в упругом процессе и что невозможно получать информацию, заключенную в тензорах высшего ранга упругого процесса, путем измерений более простых тензоров в тормозном излучении.

По-видимому, этот результат, как и результат работы /2/, является частным случаем более общего утверждения, связывающего значения наблюдаемых любого процесса и значения таких же наблюдаемых соответствующего тормозного процесса.

3. Имитация T-неинвариантных эффектов

в NN-рассеянии процессом тормозного излучения

В заключение используем результаты расчетов, приведенные в Приложении, для рассмотрения следующего вопроса.

Известно, что для упругого NN-рассеяния из T-инвариантности следует ряд соотношений между наблюдаемыми величинами (см. соотношения 7.14, 7.17, 7.32, 7.80, 7.83 работы /4/). Известно также, что всякий упругий процесс сопровождается тормозным излучением и экспериментально измеряется не сечение упругого процесса, а величина

$$\frac{d\tilde{\sigma}}{d\Omega} = \frac{d\sigma}{d\Omega} + \int_0^{\Delta} d\omega \int d\Omega \frac{d\sigma^B}{d\Omega dK d\omega}, \quad (12)$$

где Δ определяется разрешением аппаратуры.

Поскольку T-инвариантность не накладывает ограничений на амплитуду тормозного излучения, упомянутые соотношения могут не выполняться при учете эффектов испускания мягких γ -квантов. Ясно, что учет только первого ($\approx \frac{1}{\omega}$) члена в амплитуде тормозного излучения не может изменить эти соотношения, поскольку спиновая структура этого слагаемого та же, что и амплитуды упругого процесса. Лишь учет интерференции первого ($\approx \frac{1}{\omega}$) и второго ($\approx \omega^0$) членов амплитуды тормозного излучения приводит к отклонению от указанных соотношений.

В приближении Лоу получаются следующие соотношения:

$$\bar{G} - \bar{P} = 0 + O(\Delta^2); \quad (13)$$

$$\begin{aligned} (\bar{A} + \bar{R}') \cos \theta_\lambda + (\bar{R} - \bar{A}') \sin \theta_\lambda &= \bar{D}_{\ell m} + \bar{D}_{m \ell} = \\ &= \frac{\alpha}{2\pi^2} (D_{mm} - D_{\ell\ell}) \int_0^\Delta d\omega \int dO (G + H) + O(X\Delta^2); \end{aligned} \quad (14)$$

$$\bar{P}_{\ell\ell} - \bar{G}_{\ell\ell} = \bar{G}_{mm} - \bar{P}_{mm} = -\frac{\alpha}{\pi^2} P_{m\ell} \int_0^\Delta d\omega \int dO G + O(\Delta^2); \quad (15)$$

$$\bar{P}_{\ell m} + \bar{G}_{\ell m} = \frac{\alpha}{2\pi^2} \left[\mathcal{P} P_{mm} \int_0^\Delta d\omega \int dO (G + H) - P_{\ell\ell} \int_0^\Delta d\omega \int dO (G - H) \right] + O(\Delta^2). \quad (16)$$

Здесь \bar{G} и \bar{P} - параметры асимметрии и поляризации нуклонов, \bar{A} , \bar{A}' , \bar{R} , \bar{R}' - параметры тройного рассеяния Вольфенштейна, D_{ik} , P_{ik} , G_{ik} - компоненты тензоров деполяризации, корреляции поляризации и асимметрии. θ_λ - угол рассеяния в л.с. Функции G и H определены в Приложении. Черта над наблюдаемыми означает, что они измеряются в реальном эксперименте и неизбежно включают эффекты тормозного излучения.

Для чисто упругого рассеяния при сохранении Т-инвариантности правые части соотношений (13)-(16) тождественно обращаются в нуль.

В реальном случае, при учете испускания γ -квантов, правые части соотношений (13)-(16) пропорциональны Δ - максимальной энергии незарегистрированного тормозного излучения, что характерно для приближения Лоу.

Отсутствие в (13) слагаемых, пропорциональных первой степени Δ , связано с сокращением основных (в приближении Лоу) членов.

Явные выражения интегралов, входящих в (13)-(16), в общем случае весьма громоздки.

Здесь мы приведем их значения в нерелятивистском пределе для упрощенного случая, когда разрешение аппаратуры таково, что допускает излучение γ -кванта с максимальной энергией Δ независимо от направления вылета фотона (т.е. интегрирования по $d\omega$ и $d\Omega$ в (14)-(16) производится независимо).

1. np -рассеяние

$$\int_0^{\Delta} d\omega \int d\Omega G = -\frac{4\pi}{3} \frac{\Delta}{m} \sin \theta ;$$

$$\int_0^{\Delta} d\omega \int d\Omega H = 2\pi \left[\frac{3}{5} (\mu_p + \mu_n) - \frac{2}{3} \right] v^2 \frac{\Delta}{m} \sin \theta . \quad (17)$$

2. pp -рассеяние

$$\int_0^{\Delta} d\omega \int d\Omega G = -\frac{8\pi}{5} v^2 \frac{\Delta}{m} \sin \theta \cos 2\theta ;$$

$$\int_0^{\Delta} d\omega \int d\Omega H = 0 . \quad (18)$$

Таким образом, тормозное излучение мягких γ -квантов, сопровождающее всякий упругий процесс, имитирует нарушение T -инвариантности в NN -рассеянии на уровне $\frac{\alpha}{\pi} \frac{\Delta}{m}$. Этот эффект мал ($-\frac{\alpha}{\pi} \frac{\Delta}{m} \lesssim 10^{-4}$, если $\Delta \lesssim 30$ Мэв, что, по-видимому, соответствует действительности) и в настоящее время находится за пределами точности $\approx 1\%$, с которой проверено /6,5/ равенство нулю левых частей соотношений (13)-(14). Однако при дальнейшем увеличении точности в такого рода экспериментах его надо учитывать.

В принципе незарегистрированное тормозное излучение может также имитировать нарушение P -инвариантности в упругом процессе. Это сказывалось бы в появлении отличных от нуля продольных компонент вектора поляризации, вектора асимметрии и т.д.

Однако при сделанных предположениях о разрешении (максимальная энергия незарегистрированного γ -кванта не зависит от направления его вылета) интегралы по $d\Omega$ от соответствующих компонент поляризационных тензоров неупругого процесса, определяющие указанную имитацию, обращается в нуль, если четность в неупругом процессе сохраняется.

Автор благодарит Л.И.Липидуса за постановку проблемы и полезные обсуждения. Автор благодарит также С.М.Биленького, Б.М.Головина, В.И.Огиевецкого, Р.М.Рындина за ряд целых замечаний.

Приложение

Здесь приведены выражения для просуммированных по поляризации фотона нуклонных поляризационных тензоров (до второго ранга включительно) процесса $NN \rightarrow NN$ γ через поляризационные тензоры NN -рассеяния и функции кинематических переменных $A, A', A'', D, G, H, E, F, K, L, M, N, P, Q, R, S, T$. Последние связаны с величинами $t^\lambda, A_i, A'_i, \dots, S_i$ работы /1/ соотношениями

$$(A, A', A'', D, E, F, G, H) = \omega \sum_{\lambda} t^{\lambda} \sum_i \alpha_i^{\lambda} (A_i, A'_i, A''_i, D_i, E_i, F_i, G_i, H_i);$$

$$(K, L, M, N, P, Q, R, S) = \omega \sum_{\lambda} t^{\lambda} \sum_i \beta_i^{\lambda} (K_i, L_i, M_i, N_i, P_i, Q_i, R_i, S_i)_{(1.П)};$$

$$T = \omega^2 \sum_{\lambda} |t^{\lambda}|^2.$$

Заметим, что суммирование по поляризации фотона не является существенным для делаемых в тексте выводов и проведено для того, чтобы избежать в дальнейшем написания лишних индексов.

Определим поляризационные тензоры в тормозном излучении:

$$\sigma_0^B = \frac{\omega}{4} \sum_{\lambda} \text{Sp } M^{\lambda} M^{\lambda+};$$

$$P_i^{1,2B} = \frac{\omega}{4 \sigma_0^B} \sum_{\lambda} \text{Sp } \sigma_i^{1,2} M_i^{\lambda} M^{\lambda+};$$

$$Q_i^{1,2B} = \frac{\omega}{4 \sigma_0^B} \sum_{\lambda} \text{Sp } M^{\lambda} \sigma_i^{1,2} M^{\lambda+};$$

$$D_{ik}^{1,2B} = \frac{\omega}{4 \sigma_0^B} \sum_{\lambda} \text{Sp } \sigma_i^{1,2} M^{\lambda} \sigma_k^{1,2} M^{\lambda+}; \quad (2\Pi)$$

$$K_{ik}^{1,2B} = \frac{\omega}{4 \sigma_0^B} \sum_{\lambda} \text{Sp } \sigma_i^{2,1} M^{\lambda} \sigma_k^{1,2} M^{\lambda+};$$

$$P_{ik}^B = \frac{\omega}{4 \sigma_0^B} \sum_{\lambda} \text{Sp } \sigma_i^1 \sigma_k^2 M^{\lambda} M^{\lambda+};$$

$$Q_{ik}^B = \frac{\omega}{4 \sigma_0^B} \sum_{\lambda} \text{Sp } M^{\lambda} \sigma_i^1 \sigma_k^2 M^{\lambda+}.$$

Множитель ω введен в определение наблюдаемых величин из соображений удобства. При таком определении дифференциальные сечения тормозного излучения и упругого рассеяния связаны при малых ω обычным соотношением

$$\sigma_0^B = \frac{\sigma_0}{\omega}.$$

Поляризационные тензоры упругого рассеяния определяются следующим образом:

$$\sigma_0 = \frac{1}{4} \text{Sp } M M^+;$$

$$P_i^{1,2} = \frac{1}{4 \sigma_0} \text{Sp } M M^+ \sigma_i^{1,2} \quad (3.П)$$

и т.д. Здесь M - матричный элемент упругого процесса.

Поскольку в силу симметрии M по спиновым переменным обоих нуклонов величины с индексами 1 и 2 в упругом процессе совпадают, мы в дальнейшем будем опускать индексы 1,2 у наблюдаемых упругого рассеяния.

Кроме того, в силу T -инвариантности компоненты тензоров G_{ik} и P_{ik} упругого процесса совпадают с точностью до знаков, и поэтому всюду будут использоваться только последние.

Всюду в последующие выражения входят поляризационные тензоры упругого процесса, сопоставленного данному неупругому соотношениями (3) работы /1/.

Ниже (см. таблицу) приведены выражения только для величин с индексом 1 - (P_{ik}^{1B} , G_i^{1B} , D_{ik}^{1B} , K_{ik}^{1B}).

Выражения для величин с индексом 2 - (P_i^{2B} , G_i^{2B} , D_{ik}^{2B} , K_{ik}^{2B}) получаются из последних изменением знака перед D , H , L , N , Q , S .

Таблица

$$\sigma_0^B = \left(\frac{T}{\omega} + \frac{A}{E} \frac{\partial}{\partial E} E^2 + A' \frac{\partial}{\partial \theta} \right) \sigma_0$$

$$P_n^{1B} = G_n^{1B} = \left(1 + \frac{\omega}{T} A E \frac{\partial}{\partial E} + \frac{\omega}{T} A' \frac{\partial}{\partial \theta} \right) P_n - \hat{r} P_n$$

$$P_{\ell}^{1B} = \frac{\omega}{T} (S + R - L - K) P_n$$

$$P_m^{1B} = \frac{\omega}{T} (M + N + P + Q) P_n$$

$$Q_{\ell}^{1B} = \frac{\omega}{T} (L + K + R + S) Q_n$$

$$Q_m^{1B} = \frac{\omega}{T} (M + N - P - Q) Q_n$$

$$D_{nn}^{1B} = \hat{r} D_{nn}$$

$$D_{\ell\ell}^{1B} = \hat{r} D_{\ell\ell} + \frac{2\omega}{T} (D - A'') D_{m\ell}$$

$$D_{mm}^{1B} = \hat{r} D_{mm} + \frac{2\omega}{T} (D - A'') D_{m\ell}$$

$$D_{\ell m}^{1B} = \hat{r} D_{\ell m} + \frac{\omega}{T} (D - A'' + G + H) D_{mm} + \frac{\omega}{T} (D - A'' - G - H) D_{\ell\ell}$$

$$D_{m\ell}^{1B} = \hat{r} D_{m\ell} + \frac{\omega}{T} (A'' - D + G + H) D_{mm} + \frac{\omega}{T} (A'' - D - G - H) D_{\ell\ell}$$

$$\frac{1}{2} (D_{n\ell}^{1B} + D_{\ell n}^{1B}) = \frac{\omega}{T} (R + S) (D_{nn} - D_{\ell\ell}) - \frac{\omega}{T} (P + Q) D_{m\ell}$$

$$\frac{1}{2} (D_{n\ell}^{1B} - D_{\ell n}^{1B}) = \frac{\omega}{T} (K + L) (D_{nn} - D_{mm}) - \frac{\omega}{T} (M + N) D_{m\ell}$$

$$\frac{1}{2} (D_{mn}^{1B} + D_{nm}^{1B}) = \frac{\omega}{T} (M + N) (D_{nn} - D_{mm}) - \frac{\omega}{T} (K + L) D_{m\ell}$$

$$\frac{1}{2} (D_{mn}^{1B} - D_{nm}^{1B}) = \frac{\omega}{T} (P + Q) (D_{nn} - D_{\ell\ell}) - \frac{\omega}{T} (R + S) D_{m\ell}$$

$$K_{nn}^{1B} = \hat{r} K_{nn}$$

$$K_{\ell\ell}^{1B} - \hat{r} K_{\ell\ell} = K_{mm}^{1B} - \hat{r} K_{mm} = -\frac{2\omega}{T} (A'' + H) K_{m\ell}$$

$$\frac{1}{2} (K_{m\ell}^{1B} - K_{\ell m}^{1B}) = \hat{r} K_{m\ell} + \frac{2\omega}{T} (A''' + H) (K_{mm} + K_{\ell\ell})$$

$$\frac{1}{2} (K_{m\ell}^{1B} + K_{\ell m}^{1B}) = \frac{\omega}{T} (G - D) (K_{mm} - K_{\ell\ell})$$

$$\frac{1}{2} (K_{n\ell}^{1B} + K_{\ell n}^{1B}) = \frac{\omega}{T} (R + L) (K_{nn} - K_{\ell\ell}) + \frac{\omega}{T} (N - P) K_{m\ell}$$

$$\frac{1}{2} (K_{n\ell}^{1B} - K_{\ell n}^{1B}) = \frac{\omega}{T} (K + S) (K_{nn} + K_{\ell\ell}) + \frac{\omega}{T} (O - M) K_{m\ell}$$

$$\frac{1}{2} (K_{mn}^{1B} + K_{nm}^{1B}) = \frac{\omega}{T} (M - Q) (K_{nn} - K_{mm}) - \frac{\omega}{T} (K + S) K_{m\ell}$$

$$\frac{1}{2} (K_{nm}^{1B} - K_{mn}^{1B}) = \frac{\omega}{T} (N - P) (K_{nn} - K_{mm}) + \frac{\omega}{T} (R + L) K_{m\ell}$$

$$\left. \begin{array}{l} P_{nn}^B \\ Q_{nn}^B \end{array} \right\} = \hat{r} P_{nn}$$

$$\left. \begin{array}{l} P_{\ell\ell}^B \\ Q_{\ell\ell}^B \end{array} \right\} = \hat{r} P_{\ell\ell} - \frac{2\omega}{T} (A'' \mp G) P_{m\ell}$$

$$\left. \begin{array}{l} P_{mm}^B \\ Q_{mm}^B \end{array} \right\} = \hat{r} P_{mm} + \frac{2\omega}{T} (A'' \mp G) P_{m\ell}$$

$$\left. \begin{array}{l} P_{\ell m}^B \\ Q_{\ell m}^B \end{array} \right\} = \pm \hat{r} P_{\ell m} + \frac{\omega}{T} (G \mp A'' + H \pm D) P_{mm} + \frac{\omega}{T} (H \mp D - G \pm A'') P_{\ell\ell}$$

$$\left. \begin{array}{l} P_{m\ell}^B \\ Q_{m\ell}^B \end{array} \right\} = \pm \hat{r} P_{m\ell} + \frac{\omega}{T} (G \mp A'' - H \mp D) P_{mm} - \frac{\omega}{T} (H \pm D + G \mp A'') P_{\ell\ell}$$

$$\left. \begin{array}{l} \frac{1}{2} (P_{\ell n}^B + P_{n\ell}^B) \\ \frac{1}{2} (Q_{\ell n}^B + Q_{n\ell}^B) \end{array} \right\} = \frac{\omega}{T} (R \mp K) (P_{nn} - P_{\ell\ell}) - \frac{\omega}{T} (P \pm M) P_{m\ell}$$

$$\left. \begin{array}{l} \frac{1}{2} (P_{\ell n}^B - P_{n\ell}^B) \\ \frac{1}{2} (Q_{\ell n}^B - Q_{n\ell}^B) \end{array} \right\} = \frac{\omega}{T} (S \mp L) (P_{nn} + P_{\ell\ell}) + \frac{\omega}{T} (Q \pm N) P_{m\ell}$$

$$\left. \begin{array}{l} \frac{1}{2} (P_{mn}^B + P_{nm}^B) \\ \frac{1}{2} (Q_{mn}^B + Q_{nm}^B) \end{array} \right\} = \frac{\omega}{T} (M \pm P) (P_{nn} - P_{mm}) + \frac{\omega}{T} (K \mp R) P_{m\ell}$$

$$\left. \begin{array}{l} \frac{1}{2} (P_{mn}^B - P_{nm}^B) \\ \frac{1}{2} (Q_{mn}^B - Q_{nm}^B) \end{array} \right\} = \frac{\omega}{T} (N \mp Q) (P_{nn} + P_{mm}) - \frac{\omega}{T} (L \pm S) P_{m\ell}$$

Л и т е р а т у р а

1. А.В.Тарасов. Препринт ОИЯИ, P2-3803, Дубна, 1968.
2. T.H.Burnett and N.M.Kroll. *Phys.Rev.Letters*, 20, 86 (1968).
3. Р.М.Рындин. Диссертация ОИЯИ, 1957.
4. С.М.Биленький, Л.И.Лалидус, Р.М.Рындин. *УФН*, 84, 243 (1964).
5. Р.Я.Зулькарнеев, В.С.Надеждин, В.И.Сатаров. См. *Уч. М. Kazarinov. Rev. Mod. Phys.*, 39, 509 (1967).
6. R.Handler, S.C.Wright, L.Poudvorn, P.Limon, S.Olsen and P.Kloeppe. *Phys. Rev. Letters*, 19, 933 (1967).

Рукопись поступила в издательский отдел
22 апреля 1968 года.